

## بررسی کارایی فرآیند الکترووفنتون در تجزیه فنل از محیط‌های آبی

علی رضا رحمانی<sup>۱</sup>، جمال مهر علی پور<sup>۲</sup>، امیر شعبانلو<sup>۳</sup>

دریافت: ۹۲/۰۶/۲۰

پذیرش: ۹۲/۰۹/۱۴

### چکیده

**زمینه و هدف:** روش‌های الکتروشیمیایی به عنوان یکی از فرآیندهای اکسیداسیون پیشرفته به طور موثری برای تجزیه مواد آلی در محلول‌های آبی استفاده شده است. در این مطالعه کارایی روش الکترووفنتون با کاربرد الکترود آهن در تجزیه فنل مورد مطالعه قرار گرفت.

**روش بررسی:** در این مطالعه، یک راکتور منقطع الکترووفنتون در مقیاس آزمایشگاهی مجهز به ۴ الکترود و منبع برق مستقیم به منظور حذف فنل مورد استفاده قرار گرفت. تاثیر پارامترهای بهره‌برداری نظیر: pH، ولتاژ، غلظت (پراکسید هیدروژن)  $H_2O_2$ ، غلظت اولیه فنل، و زمان بهره‌برداری بررسی شد. در این مطالعه  $H_2O_2$  به صورت دستی به راکتور اضافه شد، در صورتی که الکترود آند آهن به عنوان منبع یون فرو استفاده شد.

**یافته‌ها:** نتایج مطالعات نشان داد در این فرآیند، pH اولیه محلول، غلظت اولیه  $H_2O_2$  و ولتاژ کاربردی بیشترین تاثیر را در کارایی حذف فنل داشته است، به طوری که ۸۷٪ از فنل بعد از ۱۵ min در pH ۳، ولتاژ ۲۶ V و  $100\text{ mg/L}$   $H_2O_2$  ۱۰۰٪ حذف شد. با افزایش pH کارایی حذف فنل کاهش یافت، به طوری در pH برابر ۱۰، بعد از ۱۵ min کارایی ۱۱٪ بدست آمد. برای حذف ۹۹٪ فنل در pH برابر ۳، غلظت  $100\text{ mg/L}$  از  $H_2O_2$  و ولتاژ ۲۶ V به ۶۰ min زمان نیاز بود.

**نتیجه‌گیری:** فرآیند الکترووفنتون با کاربرد الکترودهای آهن می‌تواند فرآیندی امیدوار کننده برای تجزیه فنل و تصفیه فاضلاب‌های صنعتی باشد.

**واژگان کلیدی:** الکترووفنتون، فنل، پراکسید هیدروژن، محلول‌های آبی

۱-استاد دانشکده بهداشت، گروه مهندسی بهداشت محیط، مرکز علوم تحقیقات علوم بهداشتی، دانشگاه علوم پزشکی همدان، همدان، ایران

۲-کارشناسی ارشد مهندسی بهداشت محیط، دانشکده بهداشت، دانشگاه علوم پزشکی همدان، همدان، ایران.

۳-(نویسنده مسئول): کارشناسی ارشد مهندسی بهداشت محیط، دانشکده بهداشت، دانشگاه علوم پزشکی همدان، ایران، کمیته تحقیقات دانشجویی دانشگاه علوم پزشکی همدان  
*shabanlo\_a@yahoo.com*

## مقدمه

تصفیه فاضلاب های صنعتی یکی از نگرانی های رو به رشد جوامع امروزی، در بحث بهداشت محیط زیست محسوب می شود، در میان آلاینده های سمی فاضلاب های صنعتی، فاضلاب های حاوی فنل به دلیل قابلیت زیست تخریب پذیری کم و سمیت بالا از مشکلات جدی برای محیط زیست محسوب می شود (۱). صنایعی که به طور عمده این ترکیبات را وارد محیط زیست می کنند شامل صنایع تولید زغال کک، تهیه پلاستیک، کاغذ، پالایشگاه های نفت، سرامیک و فرآیند های رزین و فولاد است (۲، ۳). فنل از طریق تنفس، خوردن، تماس با چشم و پوست وارد بدن می شود و اثر خود را با ایجاد سوختگی در پوست و چشم نشان می دهد، از طرفی مصرف ۱ g از آن باعث مرگ آنی خواهد شد (۱). به همین دلیل سازمان حفاظت از محیط زیست آمریکا فنل را در گروه آلاینده های دارای اولویت طبقه بندی کرده و خواستار کاهش غلظت آن به کمتر از ۱ mg/L در پساب خروجی از صنایع است (۴). روش های متنوعی جهت حذف فنل از آب و فاضلاب مطالعه شده است، که شامل روش های بیولوژیکی، استخراج، اکسیداسیون مرتبط (۵)، جذب با کربن فعال و اکسیداسیون شیمیایی است (۳). محدودیت ها و نواقص موجود در این فرآیند ها و عملیات را می توان با کاربرد فناوری های جایگزین بهبود بخشید، در این میان، در چند سال اخیر فرآیندهای اکسیداسیون پیشرفته Advanced Oxidation Processes (Oxidation Processes)، با توجه به ویژگی های که دارند مورد توجه محققان قرار گرفته است (۲). از متداول ترین فرآیندهای اکسیداسیون پیشرفته می توان به فنتون، فتوفنتون، سونولیز (۶)، کاربرد ازن همراه با کاتالیزورهای  $\text{V}_2\text{O}_5$  و  $\text{TiO}_2$  اشاره نمود (۷). این فرآیند های اکسیداسیون پیشرفته: بر مبنای تولید اکسیدان های قوی نظیر رادیکال هیدروکسیل (OH<sup>·</sup>) عمل میکنند، پتانسیل اکسیداسیون این رادیکال برابر E<sup>o</sup> = ۰.۲۸ V vs. NHE بوده، که تنها از پتانسیل اکسیداسیون فلورور کمتر است، OH<sup>·</sup> قادر است در زمان تماس کوتاه و به صورت غیر انتخابی آلاینده های آلی را تجزیه کند (۸-۱۱). در پایان مواد آلی در مواجهه با OH<sup>·</sup> به ترکیبات غیر سمی نظیر آب و دی اکسید کربن تجزیه می شود (۹، ۱۲). متداول ترین فرآیند اکسیداسیون پیشرفته، فرآیند معروف فنتون است (۱۳، ۱۴)،

در واکنش فنتون و در شرایط اسیدی، انتقال الکترون بین یون های آهن فرو (Fe<sup>3+</sup>) و H<sub>2</sub>O<sub>2</sub> منجر به تولید رادیکال می شود (واکنش ۱) (۱۵).



در ده سال اخیر فرآیندهای اکسیداسیون پیشرفته الکتروشیمیایی (Electrochemical AOPs (EAOPs))، که بر مبنای فرآیند فنتون انجام می شوند، توجه زیادی را به خود جلب کرده اند (۱۶). یکی از این فرآیندها، فرآیند الکتروفنتون است، ترکیب دو فرآیند فنتون و الکتروکوآگولاگلیسیون برای دست یابی به کارایی بیشتر هدف این فرآیند است (۱۷، ۱۸). این فرآیند از نظر نوع راهبری در چهار گروه طبقه بندی می گردد؛ در نوع اول، یون Fe<sup>3+</sup> و H<sub>2</sub>O<sub>2</sub> به طریق الکتریکی به ترتیب در سطح الکترود آند قربانی و الکترود کاتد تولید می شود (۱۸). در نوع دوم H<sub>2</sub>O<sub>2</sub> به طور دستی به راکتور اضافه می شود، در حالی که از یک الکترود آند آهن به عنوان منبع الکتریکی Fe<sup>3+</sup> استفاده می شود (۱۹). در نوع سوم Fe<sup>3+</sup> به صورت دستی به راکتور اضافه می شود و H<sub>2</sub>O<sub>2</sub> از طریق انتشار اکسیژن در سطح الکترودهای کاتد انتشار-گاز و مبتنی بر کربن تولید می شود (۲۰، ۲۱). در نوع چهارم، از معرف فنتون استفاده می شود (۶). فرآیند الکتروفنتون کم هزینه بوده و نیاز به زمان تماس کمی دارد، آنقدر گزینه در آب ایجاد نمی کند و روش حذف نهایی به شمار می رود (۲۲). البته در این فرآیند نیاز به محیط اسیدی و تولید زیاد لجن به عنوان مشکلی خاص مطرح است (۲۳). Ghanbari و همکاران (۲۴) از این فرآیند برای تصفیه فاضلاب واقعی صنایع نساجی استفاده کرده اند، پارامترهای چون، دانسیته جریان، میزان جریان هوا، pH اولیه و غلظت یون فرو مورد مطالعه قرار گرفت، کارایی فرآیند ۶۳٪ و ۷۷٪ برای حذف COD و رنگ بود. Malakootian و همکاران (۲۵) از این فرآیند برای حذف COD و رنگ راکتیو بلو ۱۹٪ استفاده کرده اند، شرایط بهینه برای حذف ۱۰۰٪ رنگ در ۶۰ min pH برابر ۴ و غلظت ۰.۵ mg/L Fe<sup>3+</sup> بدست آمد. با توجه به تحقیقات صورت گرفته در این زمینه هدف از پژوهش حاضر، بررسی کارایی فرآیند الکتروفنتون با الکترود آند آهن (نوع دوم از نظر نوع بهره برداری) در حذف فنل از محیط های آبی بود. تاثیر پارامترهای موثر در فرآیند

هر فرآیند  $60\text{ min}$  بود و در بازه زمان های  $0\text{ تا }60\text{ min}$  نمونه برداری انجام شد. حجم نمونه برداشته  $10\text{ mL}$  بود، قبل از آنالیز و به منظور رفع اثر سوء لخته ها در قرائت، نمونه ها به مدت  $3\text{ min}$  با سرعت  $4000\text{ rpm}$  سانتریفیوژ شده اند. مقادیر جذب فتل باقیمانده در نمونه ها طبق دستورالعمل Standard Method, D5530 nm توسط دستگاه اسپکتروفوتومتر UV-Vis در طول موج  $500\text{ nm}$  اندازه گیری شد (۲۶). برای تبدیل مقادیر جذب به غلظت بر مبنای  $\text{mg/L}$ ؛ منحنی استاندارد غلظت-جذب تهیه شد؛ برای این منظور غلظت های معلوم  $1\text{ mg/L}$  تا  $10\text{ mg/L}$  فتل تهیه و میزان جذب آنها تعیین گردید. داده ها در نرم افزار Excel وارد و منحنی استاندارد رسم گردید. شماتیک راکتور مورد استفاده در این پژوهش در شکل ۱ نشان داده شده است، همچنین در خلال نمونه برداری میزان تغییرات pH و دانسیته جریان الکتریکی ثبت شد.

#### یافته ها

- تاثیر تغییرات pH اولیه در کارایی فرآیند الکتروفتون: نتایج حاصل از تاثیر pH در میزان حذف فتل در نمودار ۱ نشان داده شده است. همانطور که مشخص است؛ بیشترین

نظیر pH اولیه، میزان ولتاژ، غلظت اولیه فتل و زمان مطالعه شد، همچنین میزان تغییرات pH و دانسیته جریان الکتریکی در خلال فرآیند بررسی شد.

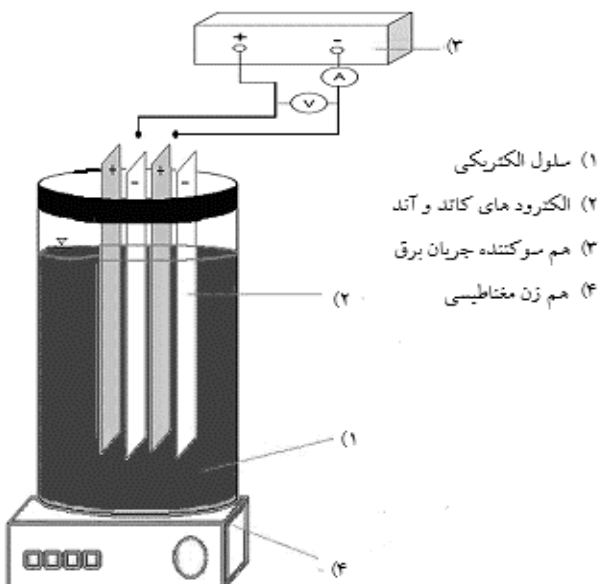
#### مواد و روش ها

##### مواد و وسایل

فتل با خلوص ۹۹/۵٪، هیدروکسید آمونیوم  $\text{NH}_3\text{O}^-$ ، فری سیانید پتاسیم،  $4\text{-آمینوآنٹی پیرین}$ ,  $\text{H}_2\text{O}_2$  مایع ۳۰٪، سولفات سدیم ( $\text{Na}_2\text{SO}_4$ )، بافر فسفات، اسید سولفوریک، سدیم هیدروکسید، تهیه شده از شرکت مرک آلمان، pH متر دیجیتالی DR5000 ساخت شرکت HACH آلمان، دستگاه دیجیتالی همسو کننده HACH آلمان، دستگاه اسپکتروفوتومتر PS-405.

##### مشخصات پایلوت و روش کار

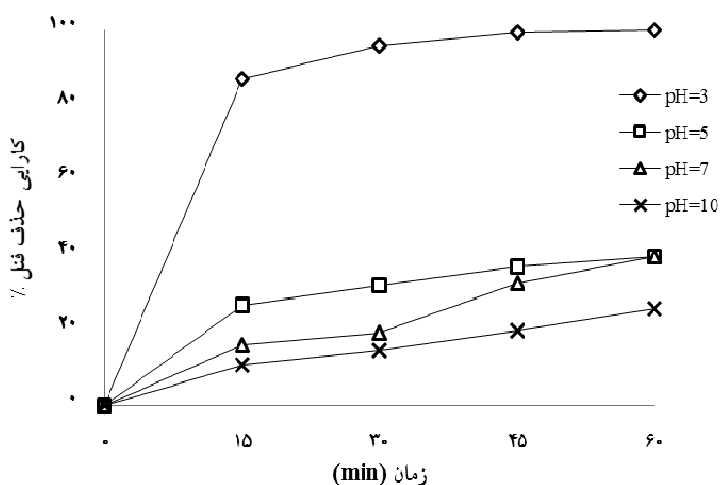
این مطالعه تجربی در تابستان سال ۱۳۹۱ در آزمایشگاه شیمی آب و فاضلاب دانشکده بهداشت دانشگاه علوم پزشکی همدان در یک راکتور جریان منقطع انجام شد، یک سلول الکتروشیمیایی از جنس پلکسی گلاس به حجم  $1250\text{ mL}$  که تا  $1000\text{ mL}$  با نمونه پر شده بود، راکتور مورد نظر را تشکیل داد، ۴ الکترود آهن (۲ الکترود آند و ۲ الکترود کاتد)، یک در میان با فاصله  $20\text{ mm}$  از هم به صورت عمودی داخل راکتور تعییه شد. ابعاد هر ۴ الکترود مساوی و برابر  $2 \times 20 \times 200\text{ mm}$  بود. هر ۴ الکترود توسط سیم های رابط به منبع دیجیتالی هم سوکننده جریان برق (DC Power Supply) متصل شد. دستگاه توانایی ایجاد ولتاژ تا  $40\text{ V}$  و شدت جریان الکتریکی تا  $5\text{ A}$  داشت. تنظیم pH توسط سود و اسید سولفوریک  $\text{Na}_2\text{SO}_4$  به صورت گرفت. برای بهبود خاصیت یونی از  $\text{Na}_2\text{SO}_4$  به مقدار ثابت  $100\text{ mg/L}$  در تمام آزمایش ها استفاده شد. نمونه حاوی غلظت های مورد نظر از فتل  $50\text{ mg/L}$  تا  $100\text{ mg/L}$  با استفاده از محلول استوک  $1\text{ g}$  در  $1000\text{ mL}$  آب (م قطره) تهیه و استفاده شد، همچنین غلظت های مورد نیاز  $\text{H}_2\text{O}_2$  تا  $25\text{ mg/L}$  به صورت دستی و جریان منقطع وارد راکتور شد، تنظیم ولتاژ در محدوده  $(13\text{ تا }39\text{ V})$  انجام شد. بعد از شروع به کار، محتویات داخل راکتور، توسط مگنت مغناطیسی و هم زن با سرعت  $200\text{ rpm}$  هم زده شد. مدت زمان انجام



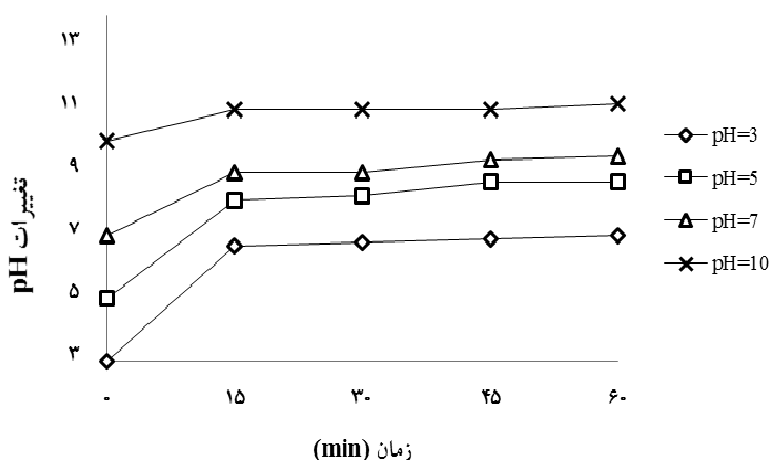
شکل ۱) شماتیک راکتور مورد استفاده در این مطالعه

در غالب نمودار ۲ نشان داده شده است، همانطور که مشاهده میشود، فرآیند الکتروفوتون در طی عملیات حذف فنل باعث افزایش pH در تمام نمونه های مورد مطالعه شد، بیشترین تغییرات pH در ۱۵ min ابتدایی و برای نمونه های اسیدی صورت گرفت، زمانی که pH نمونه در ابتدا برابر ۳ بود در پایان ۶۰ min pH به ۷ رسید. اما زمانی که pH اولیه نمونه ۱۰ بود در پایان ۶۰ min از واکنش تنها یک واحد افزایش در pH نهایی مشاهده شد.

کارایی فرآیند در حذف فنل، مربوط به pH برابر ۳ است، در این pH بعد از ۱۵ min از زمان واکنش کارایی فرآیند در حذف فنل برابر ۸۷/۱۶٪ بدست آمد، با افزایش pH نمونه های مورد مطالعه، کارایی حذف به طور چشمگیری کاهش پیدا کرد، به طوری که در pH برابر ۱۰ بیشترین کارایی در پایان ۱۵ min و ۶۰ به ترتیب ۱۱ و ۲۶٪ بود، pH بهینه در این مرحله ۳ انتخاب شد. در این مرحله میزان تغییرات pH در خلال فرآیند اندازه گیری شد، نتایج این بخش از مطالعه



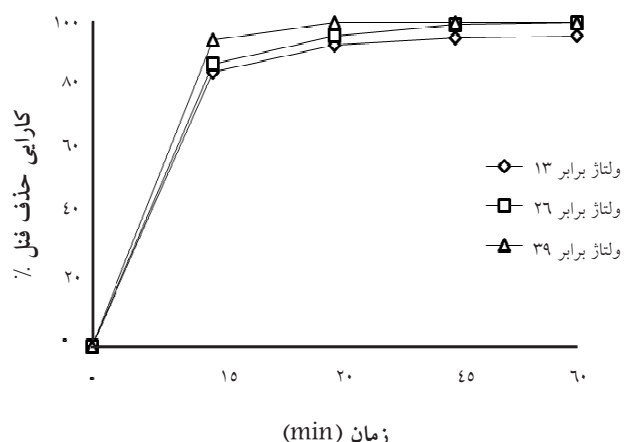
نمودار ۱: تأثیر pH بر کارایی فرآیند الکتروفوتون (فنل ۱۰۰ mg/L Na<sub>2</sub>SO<sub>4</sub>، ۱۰۰ mg/L H<sub>2</sub>O<sub>2</sub>، ۲۶ V ولتاژ ۱۰۰ mg/L H<sub>2</sub>O<sub>2</sub>، و لیزر



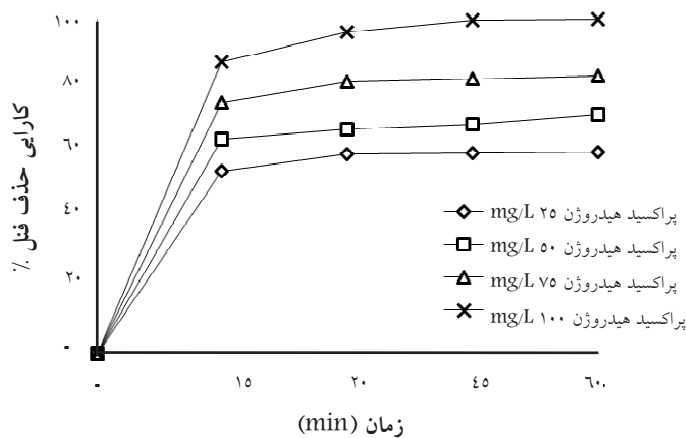
نمودار ۲: تأثیر فرآیند الکتروفوتون بر تغییرات pH (فنل ۱۰۰ mg/L Na<sub>2</sub>SO<sub>4</sub>، ۱۰۰ mg/L H<sub>2</sub>O<sub>2</sub>، ۲۶ V ولتاژ ۱۰۰ mg/L H<sub>2</sub>O<sub>2</sub>، و لیزر

- تاثیر تغییرات غلظت  $H_2O_2$  در فرآیند الکتروفوتون  
تاثیر غلظت های مختلف  $H_2O_2$  در محدوده ۲۵ تا ۱۰۰ در فرآیند الکتروفوتون مورد بررسی قرار گرفت، نتایج این مرحله از مطالعات در غالب نمودار ۴ نشان داده شده است، همانطور که مشاهده میشود تغییرات غلظت این ترکیب به عنوان عامل اصلی تولید  $OH^{\bullet}$ ، تاثیر شکرگفتاری در کارایی حذف فنل دارد، به طوری که در غلظت  $H_2O_2$  برابر ۱۰۰ mg/L راندمان واکنش بعد از ۱۵ min به حدود ۸۷٪ رسید، با کاهش غلظت  $H_2O_2$  به ۲۵ mg/L کارایی حذف فنل کاهش و به ترتیب به ۵۴ و ۶۰٪ در زمان های ۱۵ و ۶۰ min رسید. غلظت  $H_2O_2$  برابر ۱۰۰ mg/L غلظت بهینه این ماده انتخاب شد.

- تاثیر تغییرات ولتاژ در فرآیند الکتروفوتون  
نمودار ۳ تاثیر تغییرات ولتاژ در محدوده ۱۳ تا ۳۹ V در کارایی فرآیند را نشان می دهد. همانطور که از نمودار مشخص است، کارایی فرآیند بعد از ۱۵ min از واکنش با شبیث ثابتی ادامه پیدا می کند، برای ولتاژ ۳۹ V، بعد از ۱۵ min کارایی حذف در حدود ۹۵٪ بدست آمد، در حالی که در ولتاژ ۲۶، برای رسیدن به ۹۵٪ حذف به ۳۰ min زمان نیاز بود. ولتاژ بهینه در این مرحله ۲۶ V انتخاب شد. ولتاژ ۲۶ V برابر  $26 \text{ V} = 0.07 \text{ A/dm}^2$  دانسیته جریان الکتریکی بود.



نمودار ۳: تاثیر ولتاژ بر کارایی فرآیند الکتروفوتون (فنل ۱۰۰ mg/L  $Na_2SO_4$ ، ۱۰۰ mg/L  $H_2O_2$ ، pH برابر ۳، ۱۰۰ mg/L  $H_2O_2$  برابر ۱۰۰ mg/L  $Na_2SO_4$ )



نمودار ۴: تاثیر  $H_2O_2$  بر کارایی فرآیند الکتروفوتون (فنل ۱۰۰ mg/L  $Na_2SO_4$ ، pH برابر ۳، ولتاژ ۲۶ V، ۱۰۰ mg/L  $H_2O_2$  برابر ۱۰۰ mg/L  $Na_2SO_4$ )

### - تعیین اثر هم افزایی اجزاء مختلف فرآیند، در کارایی حذف فنل

برای مشخص کردن اثر هم افزایی اجزاء شرکت‌کننده در فرآیند الکتروفوتون، ۶ نمونه مجزا تهیه شد، در نمونه اول فرآیند الکتروفوتون در شرایط بهینه خود انجام شد، در این شرایط کارایی بعد از ۱۵ min برابر ۸۷٪ بود. در نمونه دوم، تنها غلظت  $H_2O_2$  صفر بود، در این حالت بعد از ۱۵ min کارایی فرآیند بیشتر از ۱۰٪ مشاهده نشد، در نمونه سوم، فرآیند الکتروفوتون بدون جریان الکتریکی و لتاژ انجام شد، در این شرایط، کارایی در حدود ۲٪ بود، در نمونه چهارم، هیچ فرآیندی انجام نشد و تنها pH نمونه روی ۳ تنظیم شد، در این حالت کارایی حذف فنل صفر شد، در نمونه پنجم ام فرآیند الکتروفوتون بدون حضور الکتروولیت  $Na_2SO_4$  انجام شد، در این نمونه نیز کارایی بهتر از ۲٪ بودت نیامد و در آخرین نمونه تنها اثر  $H_2O_2$  در حذف فنل بررسی شد، که این نمونه نیز به کارایی حدود ۳٪ در حذف فنل رسید. نتایج در نمودار ۷ نشان داده شده است.

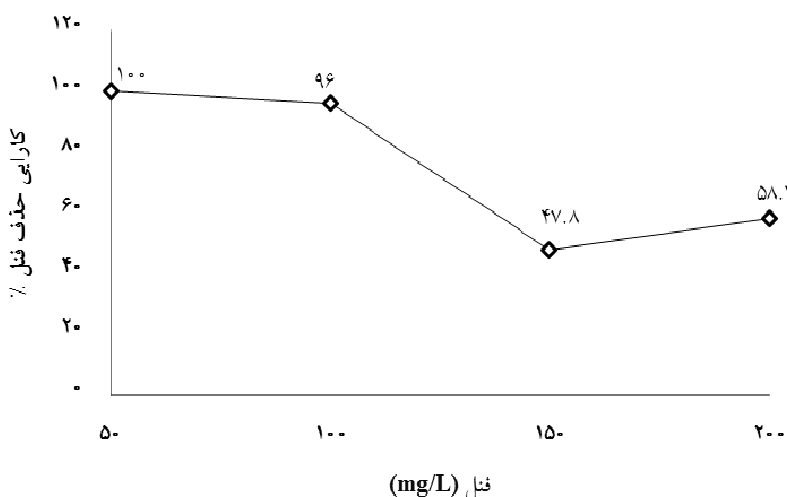
### بحث

واکنش‌های اصلی فرآیند الکتروفوتون در غالب واکنش‌های ۲ تا ۵ نشان داده شده است: الکترود آند آهن، یون‌های  $Fe^{2+}$  آزاد

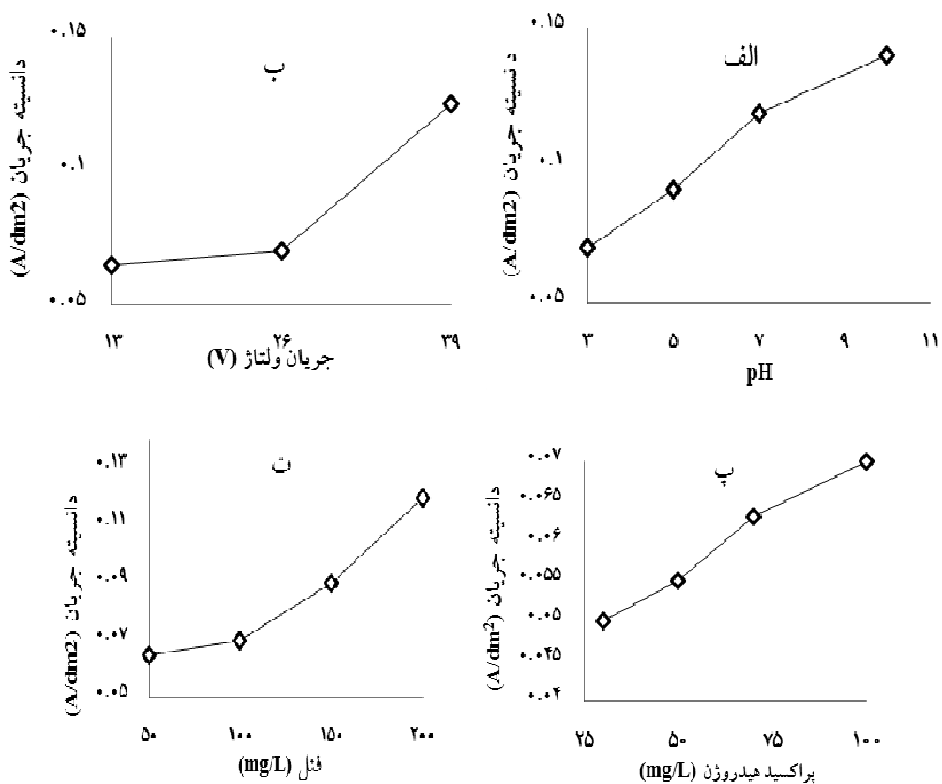
### - تاثیر تغییرات غلظت اولیه فنل در کارایی فرآیند الکتروفوتون

نمودار ۵ تاثیر تغییرات غلظت فنل در کارایی فرآیند الکتروفوتون را نشان می‌دهد. برای این منظور زمان ماند ۳۰ min انتخاب و نمونه‌برداری در پایان این زمان صورت گرفت. با افزایش غلظت فنل از ۵۰ به ۱۰۰ mg/L کارایی حذف فنل از ۱۰۰٪ به ۹۴٪ کاهش یافت. افزایش غلظت فنل به ۱۵۰ mg/L کارایی را تا حدود ۴۷٪ کاهش داد اما افزایش غلظت فنل به ۲۰۰ mg/L کارایی را قدری افزایش و به حدود ۵۸٪ رساند.

- تغییرات دانسیته جریان الکتریکی در فرآیند الکتروفوتون: بهره‌برداری از فرآیند الکتروفوتون در این مطالعه با جریان الکتریکی و لتاژ صورت گرفت، نتایج مراحل مختلف فرآیند مشخص کرد، میزان دانسیته جریان الکتریکی بر حسب  $A/dm^2$  در شرایط مختلف متفاوت است. به طور مثال در مرحله ۱-۳ با افزایش pH و با ثابت ماندن سایر فاکتور-های بهره‌برداری، دانسیته جریان الکتریکی از ۰/۰۷ به ۰/۱۴ افزایش یافت. در مرحله ۲-۳ نیز با افزایش و لتاژ جریان از ۱۳ به ۳۹ V، دانسیته جریان از ۰/۰۶۵ به ۰/۱۲۵  $A/dm^2$  داشت. سایر نتایج مربوط به تغییرات دانسیته جریان الکتریکی در برابر تغییرات غلظت  $H_2O_2$  و فنل در نمودار ۶ نشان داده شده است.



نمودار ۵: تاثیر غلظت فنل بر کارایی فرآیند الکتروفوتون ( $100\text{ mg/L Na}_2\text{SO}_4$ ،  $pH = 3$ ،  $30\text{ min}$  زمان ماند،  $100\text{ mg/L H}_2\text{O}_2$ ، و لتاژ  $39\text{ V}$ )



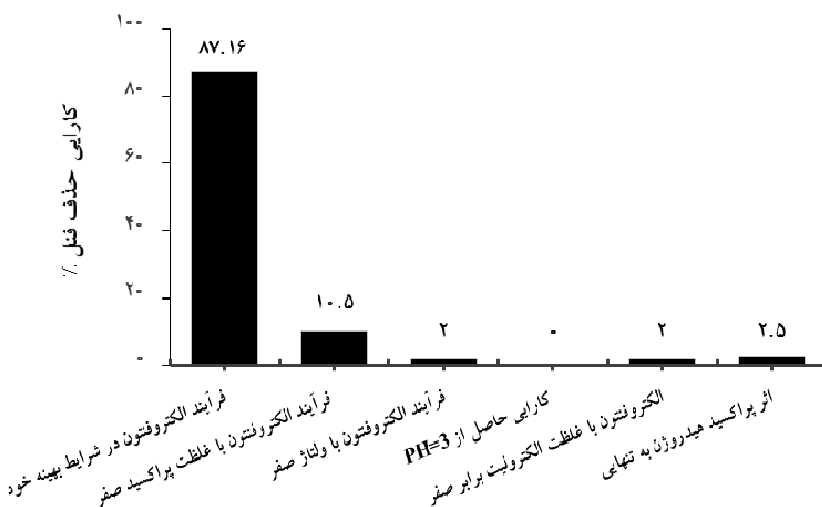
نمودار ۶: تغییرات دانسیته جریان در فرآیند الکتروفنتون الف (فنل ۱۰۰ mg/L Na۲SO۴، ۱۰۰ mg/L H۲O۲، ۲۶ pH، ولتاژ ۷V)، ب (فنل ۱۰۰ mg/L Na۲SO۴، ۱۰۰ mg/L H۲O۲، ۳ pH، ولتاژ ۲۶ pH، برابر ۱۰۰ mg/L Na۲SO۴)، پ (فنل ۱۰۰ mg/L Na۲SO۴، ۱۰۰ mg/L H۲O۲، ۳ pH، ولتاژ ۲۶ pH، برابر ۱۵ min)، ت (فنل ۱۰۰ mg/L Na۲SO۴، ۱۰۰ mg/L H۲O۲، ۳ pH، ولتاژ ۷V) – زمان در تمامی فرآیند ها

موجود در محلول دارد (۱۰). فرآیند فنتون و فرآیندهای برگرفته از آن؛ نظیر فرآیند الکتروفنتون در محلول های اسیدی با pH تا ۴ انجام می شود (۲۱-۲۸). در pH های بالا به خصوص بالای ۵ کارایی فرآیند به شدت کاهش می یابد، چرا که در محیط های قلیایی به دلیل ناپایداری در ساختار، سریع به آب و دی اکسید کربن تجزیه می شود، همچنین افزایش pH باعث کاهش پتانسیل اکسیداسیون  $\text{OH}^\circ$  خواهد شد (۶، ۳۱-۳۲). در pH های بالای ۴ یونهای  $\text{Fe}^{2+}$ ، به گونه فریک ( $\text{Fe}^{2+}$ ) تبدیل می شود، با افزایش بیشتر pH یون های  $\text{Fe}^{2+}$  به صورت هیدروکسید فریک ( $\text{Fe(OH)}_2$ ) و اوکسی هیدروکسید فریک ( $\text{FeOOH}^{2+}$ ) رسوب کرده و تولید لجن را افزایش می دهد، همچنین یون های آهن تنها در حالت محلول توانایی شرکت در واکنش فنتون را دارد و با افزایش pH آهن به فرم کلولئیدی در می آید و از واکنش فنتون خارج می شود، به عبارت دیگر آهن تنها به شکل  $\text{Fe}^{2+}$  و حالت محلول می تواند در فرآیند

می کند (واکنش ۲)، همزمان در سطح الکترود کاتد مولکول های آب کاهیده می شود (واکنش ۳)، در این حین با وارد کردن  $\text{H}_2\text{O}_2$  به راکتور واکنش فنتون رخ می دهد (واکنش ۱ و ۴)، همچنین احیاء مداوم یون های فریک در سطح کاتد، باعث دوباره سازی یون های فرو می شود (واکنش ۵) (۲۷)



در این فرآیند و سایر فرآیندهای الکتروشیمیایی، تاثیرگذارترین پارامتر در کارایی pH محلول است، pH تاثیر مستقیم در مدت پایداری  $\text{H}_2\text{O}_2$ ، میزان تولید  $\text{OH}^\bullet$  و تعیین گونه و حالت آهن



نمودار ۷: اثر هم افزایی اجزاء شرکت کننده در فرآیند الکتروفنتون (فنل ۱۰۰ mg/L، ولتاژ ۲۶، زمان ۱۵ min pH برابر ۳،  $100 \text{ mg/L H}_2\text{O}_2$ ،  $100 \text{ mg/L Na}_2\text{SO}_4$ )

یون های  $\text{Fe}^{2+}$  از طریق احیاء مداوم یون های  $\text{Fe}^{3+}$  در سطح کاتد (واکنش ۵) و در نهایت میزان غلظت تولیدی از  $\text{OH}^-$  با ولتاژ اعمال شده به سلول الکتریکی کنترل می شود (۳۶، ۳۷). اهمیت  $\text{Fe}^{2+}$  به قدری است که؛ در فقدان  $\text{H}_2\text{O}_2$ ،  $\text{Fe}^{2+}$  به تهایی قادر نیست مولکول های بزرگ نظری رنگ ها را اکسید کند (۲۹). البته وقوع واکنش های جانبی و مداخله گر با افزایش ولتاژ دور از انتظار نخواهد بود، این واکنش ها باعث کاهش کارایی فرآیند نخواهد شد، انتشار گاز اکسیژن از سطح آند (واکنش ۶)، و انتشار گاز هیدروژن از سطح کاتد (واکنش ۷) کارایی را کاهش می دهد، همچنین  $\text{H}_2\text{O}_2$  در ولتاژ های بالا به آب تجزیه می شود، که به نوبه خود کارایی را بیشتر کاهش می دهد (واکنش ۸)، یکی از دلایل کاهش کارایی حذف فل در این مطالعه بعد از ۱۵ min ابتدایی همین واکنش های مداخله گر است (۳۱).

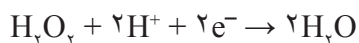
(۶)



(۷)



(۸)



طبق مطالعه ایی که Mohammadi و همکاران (۳۸) در رابطه با حذف نیترات با فرآیند الکتروفنتون با الکترودهای

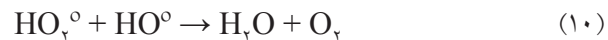
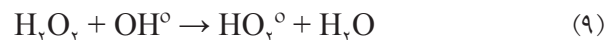
فنتون شرکت کند (۲۸). همچنین باز سازی  $\text{Fe}^{2+}$  (به عنوان عامل مورد نیاز در فرآیند) توسط واکنش ۵ تنها در pH های ۲ تا ۴ انجام می شود (۳۳). با افزایش pH به حدود ۹ تقریباً فرآیند الکتروفنتون متوقف و فرآیند انعقاد جایگزین خواهد شد، در نتیجه کارایی کاهش بیشتری پیدا خواهد کرد (۳۰). در این مطالعه pH بهینه برای فرآیند، ۳ انتخاب شد، که با مطالعات مشابه مطابقت دارد، چرا که بیشتر گزارشات؛ pH بین ۲ تا ۴ را به عنوان pH بهینه انتخاب کرده اند (۱۸). همچنین در خلال فرآیند الکتروفنتون افزایش pH به دلیل کاهیده شدن آب در سطح الکترود کاتد (واکنش ۳) و تشکیل یون هیدروکسید ( $\text{OH}^-$ ) در خلال واکنش ۱ در مطالعات متعدد گزارش شده است (۳۴). طبق مطالعه ای که توسط Ting و همکاران (۳۵) انجام شد، حذف کامل  $2,6\text{-dimethyl aniline}$  در pH ۲ در مدت زمان ۱۴۰ min بدست آمد. در تحقیقات Khataee و همکاران (۱۲) نیز مشخص شد با افزایش pH از ۳ به ۵ کارایی حذف رنگ آند آسید بلو ۹ از ۹۰٪ به ۳۸٪ کاهش پیدا کرد. از آنجایی که در این پژوهش، تنها منبع یون های  $\text{Fe}^{2+}$  در راکتور برای انجام واکنش الکتروفنتون، الکترود آند آهن بود، تغییرات ولتاژ اعمال شده در سطح الکترود آند قربانی، فاکتور اصلی در تولید الکتریکی  $\text{Fe}^{2+}$ ، در فرآیند الکتروفنتون بود (واکنش ۲) (۳۰). تعیین میزان و غلظت یون های آهن آزاد شده از الکترود آند آهن (واکنش ۲)، انجام فرآیند دوباره سازی

با تولید الکتریکی آهن از قابلیت مناسبی در حذف فنل برخوردار است؛ حذف فنل در pH های اسیدی بیشتر و با افزایش pH میزان کارایی حذف فنل کاهش یافت، به طوری که راندمان حذف در پایان ۶۰ min از ۹۹/۹۹٪ برای غلظت  $L\text{g}/\text{L}$  ۱۰۰ mg برابر ۲۶٪ در pH ۳ برابر ۱۰٪ در pH ۷ گذشت. همچنین کارایی فرآیند در حذف فنل، با غلظت اولیه فنل و غلظت  $\text{H}_2\text{O}_2$  به ترتیب دارای رابطه معکوس و مستقیم است.

### تشکر و قدردانی

این مقاله حاصل بخشی از طرح تحقیقاتی با عنوان مقایسه کارایی فرآیند الکتروفتون و الکتروکواگولاسیون در حذف فنل از محیط‌های آبی مصوب معاونت تحقیقات و فناوری دانشگاه علوم پزشکی و خدمات بهداشتی، درمانی همدان در سال ۹۱ با کد ۹۱۰۹۰۷۳۴۴۴ است، که با حمایت معاونت تحقیقات و فناوری دانشگاه علوم پزشکی و خدمات بهداشتی، درمانی همدان اجرا شده است.

آهن انجام دادند، کارایی فرآیند در pH برابر ۲ و لیکن  $\text{V}_{30}$  بیشترین مقدار را داشت، در این مطالعه کارایی فرآیند بعد از ۳۰ min تقریباً ثابت و برابر ۹۴٪ شد. در بحث مربوط به تاثیر  $\text{H}_2\text{O}_2$ ، باید به این موضوع اشاره کرد که تنها منبع تولید  $\text{OH}^\circ$  در فرآیند فتون و الکتروفتون،  $\text{H}_2\text{O}_2$  است، این ماده به صورت دستی به راکتور اضافه می‌شود و یا از طریق انتشار اکسیژن در سطح کاتد تولید می‌شود، افزایش مقدار این ماده تا حد خاصی، باعث افزایش غلظت  $\text{OH}^\circ$  و در نتیجه افزایش کارایی فرآیند خواهد شد (۳۵). افزایش بیش از حد این ماده کارایی را کاهش می‌دهد؛ چرا که  $\text{H}_2\text{O}_2$  در غلظت‌های بالا نقش ریاضی را دارد، این پدیده در غالب واکنش‌های ۹ و ۱۰ نشان داده شده است، واکنش ۹ اثر مستقیم افزایش  $\text{H}_2\text{O}_2$  است، محصول این واکنش تولید رادیکال هیدروپراکسید ( $\text{HO}^\circ$ ) است، این رادیکال به طور غیر مستقیم در واکنش ۱۰ مصرف کننده  $\text{OH}^\circ$  خواهد بود، در نتیجه کارایی کاهش بیشتری پیدا خواهد کرد (۲۸).



افزایش غلظت فنل، به عنوان آلاینده در این مطالعه کاهش کارایی را به دنبال داشت، افزایش غلظت آلاینده در شرایط ثابت عملیاتی، به دلیل عدمه کارایی را کاهش می‌دهد؛ در مقادیر ثابت  $\text{OH}^\circ$  با افزایش غلظت آلاینده میزان تماس و مواجه کاهش می‌یابد (۳۹). همچنین افزایش غلظت آلاینده باعث تولید بیشتر محصولات جانب ناشی از اکسیداسیون خواهد شد که این ترکیبات مصرف کننده مقادیر بیشتری از  $\text{OH}^\circ$  خواهند بود (۳۰). گزارش سایر مطالعات همسو، حاکی از همین نتایج بوده است، Malakootian و همکاران (۲۵) نیز در مطالعه خود به کاهش کارایی فرآیند الکتروفتون دربرابر افزایش غلظت آلاینده رنگ راکتیو بلو ۱۹ اشاره داشته‌اند.

### نتیجه گیری

نتایج بدست آمده از این پژوهش نشان داد، فرآیند الکتروفتون

## منابع

1. Berardinelli S, Resini C, Arrighi L. Technologies for the removal of phenol from fluid streams: A short review of recent developments. *Journal of Hazardous Materials*. 2008;160(2):265-88.
- 2.Babuponnusami A, Muthukumar K. Degradation of phenol in aqueous solution by Fenton, sono-Fenton and sono-photo-Fenton methods. *Clean–Soil, Air, Water*. 2011;39(2):142-47.
- 3.Abdelwahab O, Amin N, El-Ashtoukhy E. Electrochemical removal of phenol from oil refinery wastewater. *Journal of Hazardous Materials*. 2009;163(2):711-16.
- 4.Kermani M, Gholami M, Gholizade A, Farzadkia M, Esrafil A. Effectiveness of rice husk ash in removal of phenolic compounds from aqueous solutions, equilibrium and kinetics studies. *Iranian Journal of Health and Environment*. 2012;5(1):107-20 (in Persian).
- 5.Santos A, Yustos P, Gomis S, Ruiz G, Garcia-Ochoa F. Reaction network and kinetic modeling of wet oxidation of phenol catalyzed by activated carbon. *Chemical Engineering Science*. 2006;61(8):2457-67.
- 6.Babuponnusami A, Muthukumar K. Advanced oxidation of phenol: A comparison between Fenton, electro-Fenton, sono-electro-Fenton and photo-electro-Fenton processes. *Chemical Engineering Journal*. 2012;183:1-9.
- 7.Ranjit PJD, Palanivelu K, Lee C-S. Degradation of 2, 4-dichlorophenol in aqueous solution by sono-Fenton method. *Korean Journal of Chemical Engineering*. 2008;25(1):112-17.
- 8.Ghoneim MM, El-Desoky HS, Zidan NM. Electro-Fenton oxidation of Sunset Yellow FCF azo-dye in aqueous solutions. *Desalination*. 2011;274(1):22-30.
- 9.Karimi A, Mahdizadeh F, Eskandarian M. Enzymatic in-situ generation of  $H_2O_2$  for decolorization of Acid Blue 113 by fenton process. *Chemical Industry and Chemical Engineering Quarterly*. 2012;18(1):89-94.
- 10.Ruiz EJ, Arias C, Brillas E, Hernández-Ramírez A, Peralta-Hernández J. Mineralization of Acid Yellow 36azo dye by electro-Fenton and solar photoelectro-Fenton processes with a boron-doped diamond anode. *Chemosphere*. 2011;82(4):495-501.
- 11.Golbaz S, Jonidi Jafari A, Rezaei Kalantari R. The study of fenton performance in removal of cyanide from aqueous solution. *Iranian Journal of Health and Environment*. 2013;5(4):423-32 (in Persian).
- 12.Khataee A, Vatanpour V, Amani Ghadim A. Decolorization of CI Acid Blue 9 solution by UV/ Nano-TiO<sub>2</sub>, Fenton, Fenton-like, electro-Fenton and electrocoagulation processes: A comparative study. *Journal of Hazardous Materials*. 2009;161(2):1225-33.
- 13.Fan Y, Ai Z, Zhang L. Design of an electro-Fenton system with a novel sandwich film cathode for wastewater treatment. *Journal of Hazardous Materials*. 2010;176(1):678-84.
- 14.Ma J, Song W, Chen C, Ma W, Zhao J, Tang Y. Fenton degradation of organic compounds promoted by dyes under visible irradiation. *Environmental Science & Technology*. 2005;39(15):5810-15.
- 15.Safarzadeh-Amiri A, Bolton JR, Cater SR. The use of iron in advanced oxidation processes. *Journal of Advanced Oxidation Technologies*. 1996;1:18-26.
- 16.Brillas E, Sirés I, Arias C, Cabot PL, Centellas F, Rodríguez RM, et al. Mineralization of paracetamol in aqueous medium by anodic oxidation with a boron-doped diamond electrode. *Chemosphere*. 2005;58(4):399-406.
- 17.Akyol A, Can OT, Demirbas E, Kobya M. A comparative study of electrocoagulation and electro-Fenton for treatment of wastewater from liquid organic fertilizer plant. *Separation and Purification Technology*. 2013;112:11-19.
- 18.Umar M, Aziz HA, Yusoff MS. Trends in the use of Fenton, electro-Fenton and photo-Fenton for the treatment of landfill leachate. *Waste Management*. 2010;30(11):2113-21.
- 19.Kurt U, Apaydin O, Gonullu MT. Reduction of COD in wastewater from an organized tannery industrial region by Electro-Fenton process. *Journal of Hazardous Materials*. 2007;143(1-2):33-40.
- 20.Badellino C, Rodrigues CA, Bertazzoli R. Oxidation of pesticides by in situ electrogenerated hydrogen peroxide: Study for the degradation of 2,4-dichlorophenoxyacetic acid. *Journal of Hazardous Materials*. 2006;137(2):856-64.
- 21.Wang CT, Hu JL, Chou WL, Kuo YM. Removal of color from real dyeing wastewater by Electro-Fenton technology using a three-dimensional graphite cathode. *Journal of Hazardous Materials*. 2008;152(2):601-606.
22. Rosales E, Pazos M, Sanromán MÁ. Advances in the Electro-Fenton process for remediation of recalcitrant organic compounds. *Chemical Engineering & Technology*. 2012;35(4):609-17.
- 23.Wang Y, Zhao H, Chai S, Wang Y, Zhao G, Li D. Electrosorption enhanced electro-Fenton process for efficient mineralization of imidacloprid based on mixed-valence iron oxide composite cathode at neutral pH. *Chemical Engineering Journal*. 2013;223:524-35.
- 24.Eslami A, Massoudinejad MR, Ghanbari F, Moradi M. Study on treatability of real textile wastewater by electrochemically generated fenton reagent using graphite felt cathode. *Iranian Journal of Health and*

- Environment. 2012;5(3):273-82 (in Persian).
- 25.Malakootian M, Asadi M, Mahvi AH. Evaluation of Electro-Fenton process performance for COD and Reactive Blue 19 removal from aqueous solution. Iranian Journal of Health and Environment. 2013;5(4):433-44 (in Persian).
- 26.APHA, AWWA, WEF. Standard Methods for the Examination of Water and Wastewater. Twenty-First ed. Washington DC: American Public Health Association; 2005.
- 27.Bagheri A, Moussavi G, Khavanin A. Investigating the Electro-Fenton (EF) process performance in treating highly formaldehyde-polluted industrial wastewater. Iranian Journal of Health and Environment. 2012;5(2):143-56 (in Persian).
- 28.Masomboon N, Ratanatamskul C, Lu M-C. Chemical oxidation of 2, 6-dimethylaniline by electrochemically generated Fenton>s reagent. Journal of Hazardous Materials. 2010;176(1-3):92-98.
- 29.Wang CT, Chou WL, Chung MH, Kuo YM. COD removal from real dyeing wastewater by electro-Fenton technology using an activated carbon fiber cathode. Desalination. 2010;253(1): 129–34.
- 30.Zhou M, Yu Q, Lei L, Barton G. Electro-Fenton method for the removal of methyl red in an efficient electrochemical system. Separation and Purification Technology. 2007;57(2):380-87.
- 31.Nidheesh P, Gandhimathi R. Trends in electro-Fenton process for water and wastewater treatment: an overview. Desalination. 2012;299:1-15.
- 32.Shemer H, Linden KG. Degradation and by-product formation of diazinon in water during UV and UV/H<sub>2</sub>O<sub>2</sub> treatment. Journal of Hazardous Materials. 2006;136(3):553-59.
- 33.Ramirez JH, Duarte FM, Martins FG, Costa CA, Madeira LM. Modelling of the synthetic dye Orange II degradation using Fenton's reagent: From batch to continuous reactor operation. Chemical Engineering Journal. 2009;148(2-3):394-404.
- 34.Mollah MYA, Schennach R, Parga JR, Cocke DL. Electrocoagulation (EC)—science and applications. Journal of hazardous materials. 2001;84(1):29-41.
- 35.Ting W-P, Lu M-C, Huang Y-H. Kinetics of 2,6-dimethylaniline degradation by electro-Fenton process. Journal of Hazardous Materials. 2009;161(2-3):1484-90.
- 36.Li C-W, Chen Y-M, Chiou Y-C, Liu C-K. Dye wastewater treated by Fenton process with ferrous ions electrolytically generated from iron-containing sludge. Journal of Hazardous Materials. 2007;144(1-2):570-76.
- 37.Daneshvar N, Aber S, Vatanpour V, Rasoulifard MH. Electro-Fenton treatment of dye solution containing Orange II: Influence of operational parameters. Journal of Electroanalytical Chemistry. 2008;615(2):165-74.
- 38.Mohammadi AS, Mehralipour J, Shabanlo A, Roshanaie G, Barafreshtepour M, Asgari G. Comparing the electrocoagulation and electro-Fenton processes for removing nitrate in aqueous solution for Fe electrodes. Journal of Mazandaran University of Medical Sciences. 2013;23(104):57-67 (in Persian).
- 39.Zazouli MA, Taghavi M. Phenol removal from aqueous solutions by electrocoagulation technology using iron electrodes: Effect of some variables. Journal of Water Resource and Protection. 2012;4(11):980-83.

## **Investigation of Electro-Fenton process in degradation of phenol from aqueous solutions**

**Alireza Rahmani<sup>1</sup>, Jamal Mehralipoor<sup>2</sup>, Amir Shabanlo<sup>3\*</sup>**

<sup>1</sup>Department of Environmental Health Engineering, Faculty of Health and Research Center for Health Sciences, Hamadan University of Medical Sciences, Hamadan, Iran

<sup>2</sup>Department of Environmental Health Engineering, Faculty of Health, Hamadan University of Medical Sciences, Hamadan, Iran

<sup>3</sup>Department of Environmental Health Engineering, Faculty of Health, Hamadan University of Medical Sciences, Hamadan, Iran

Received; 11 Septemer 2013

Accepted; 5 December 2013

### **Abstract**

**Background and Objective:** Electrochemical methods as one of the advanced oxidation processes (AOPs), have been applied effectively to degrade recalcitrant organics in aqueous solutions. In the present work, the performance of electro-Fenton (EF) method using iron electrodes on the degradation of phenol was studied.

**Materials and Methods:** In this study, a lab-scale EF batch reactor equipped with four electrodes and a DC power supply was used for removing phenol. The effect of operating parameters such as pH, voltage, H<sub>2</sub>O<sub>2</sub> and initial phenol concentration and operating time were evaluated. We added H<sub>2</sub>O<sub>2</sub> manually to the reactor while iron anode electrode was applied as a ferrous ion source.

**Results:** It was found that initial pH of the solution, initial H<sub>2</sub>O<sub>2</sub> concentration, applied voltages were highly effective on the phenol removal efficiency in this process, so that 87% of phenol after 15 min of reaction at pH=3.0, voltage 26 V and H<sub>2</sub>O<sub>2</sub> 100 mg/L was removed. Phenol removal efficiency decreased with increasing pH, so that at pH 10, after 15 min, efficiency was 11%. To remove 99.99% phenol at pH 3, 100 mg/L concentration of H<sub>2</sub>O<sub>2</sub> and voltage 26 V for 60 min was required.

**Conclusion:** Electro-Fenton process using iron electrodes for phenol degradation and remediation of wastewater could be a promising process.

**Keywords:** Electro-Fenton, phenol, H<sub>2</sub>O<sub>2</sub>, aqueous solution

---

\*Corresponding Author: *shabanlo\_a@yahoo.com*  
Tel: 09186727757